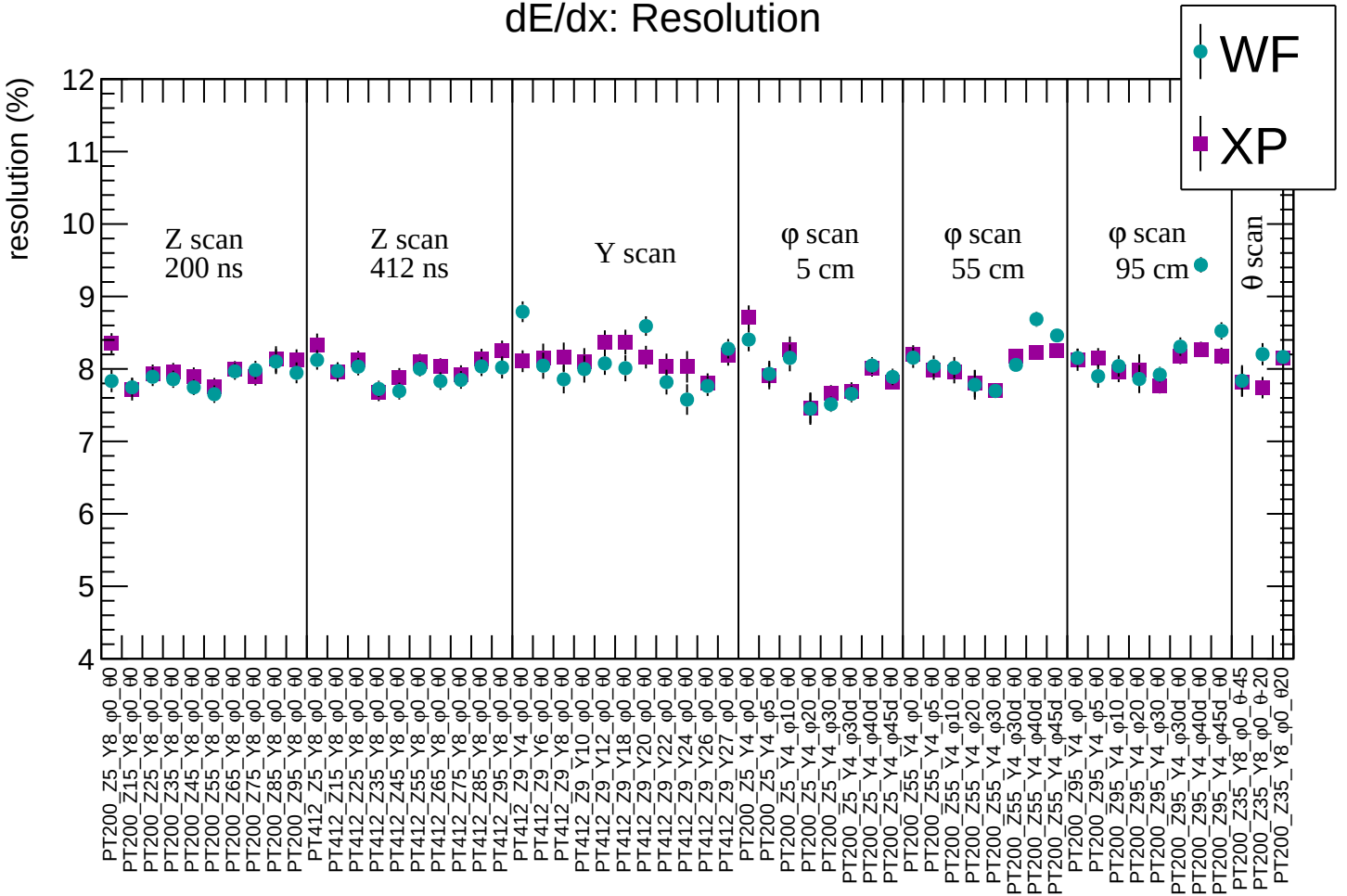
dE/dx: Resolution
resolution (%)
12
11
10
9
8
7
6
5
4
WF
XP
Z scan
200 ns
Z scan
412 ns
Y scan
φ scan
5 cm
φ scan
55 cm
φ scan
95 cm
θ scan
PT200_Z5_Y8_φ0_θ0
PT200_Z15_Y8_φ0_θ0
PT200_Z25_Y8_φ0_θ0
PT200_Z35_Y8_φ0_θ0
PT200_Z45_Y8_φ0_θ0
PT200_Z55_Y8_φ0_θ0
PT200_Z65_Y8_φ0_θ0
PT200_Z75_Y8_φ0_θ0
PT200_Z85_Y8_φ0_θ0
PT200_Z95_Y8_φ0_θ0
PT412_Z5_Y8_φ0_θ0
PT412_Z15_Y8_φ0_θ0
PT412_Z25_Y8_φ0_θ0
PT412_Z35_Y8_φ0_θ0
PT412_Z45_Y8_φ0_θ0
PT412_Z55_Y8_φ0_θ0
PT412_Z65_Y8_φ0_θ0
PT412_Z75_Y8_φ0_θ0
PT412_Z85_Y8_φ0_θ0
PT412_Z95_Y8_φ0_θ0
PT412_Z9_Y4_φ0_θ0
PT412_Z9_Y6_φ0_θ0
PT412_Z9_Y8_φ0_θ0
PT412_Z9_Y10_φ0_θ0
PT412_Z9_Y12_φ0_θ0
PT412_Z9_Y18_φ0_θ0
PT412_Z9_Y20_φ0_θ0
PT412_Z9_Y22_φ0_θ0
PT412_Z9_Y24_φ0_θ0
PT412_Z9_Y26_φ0_θ0
PT412_Z9_Y27_φ0_θ0
PT200_Z5_Y4_φ0_θ0
PT200_Z5_Y4_φ5_θ0
PT200_Z5_Y4_φ10_θ0
PT200_Z5_Y4_φ20_θ0
PT200_Z5_Y4_φ30_θ0
PT200_Z5_Y4_φ30d_θ0
PT200_Z5_Y4_φ40d_θ0
PT200_Z5_Y4_φ45d_θ0
PT200_Z55_Y4_φ0_θ0
PT200_Z55_Y4_φ5_θ0
PT200_Z55_Y4_φ10_θ0
PT200_Z55_Y4_φ20_θ0
PT200_Z55_Y4_φ30_θ0
PT200_Z55_Y4_φ30d_θ0
PT200_Z55_Y4_φ40d_θ0
PT200_Z55_Y4_φ45d_θ0
PT200_Z95_Y4_φ0_θ0
PT200_Z95_Y4_φ5_θ0
PT200_Z95_Y4_φ10_θ0
PT200_Z95_Y4_φ20_θ0
PT200_Z95_Y4_φ30_θ0
PT200_Z95_Y4_φ30d_θ0
PT200_Z95_Y4_φ40d_θ0
PT200_Z95_Y4_φ45d_θ0
PT200_Z35_Y8_φ0_θ-45
PT200_Z35_Y8_φ0_θ-20
PT200_Z35_Y8_φ0_θ20

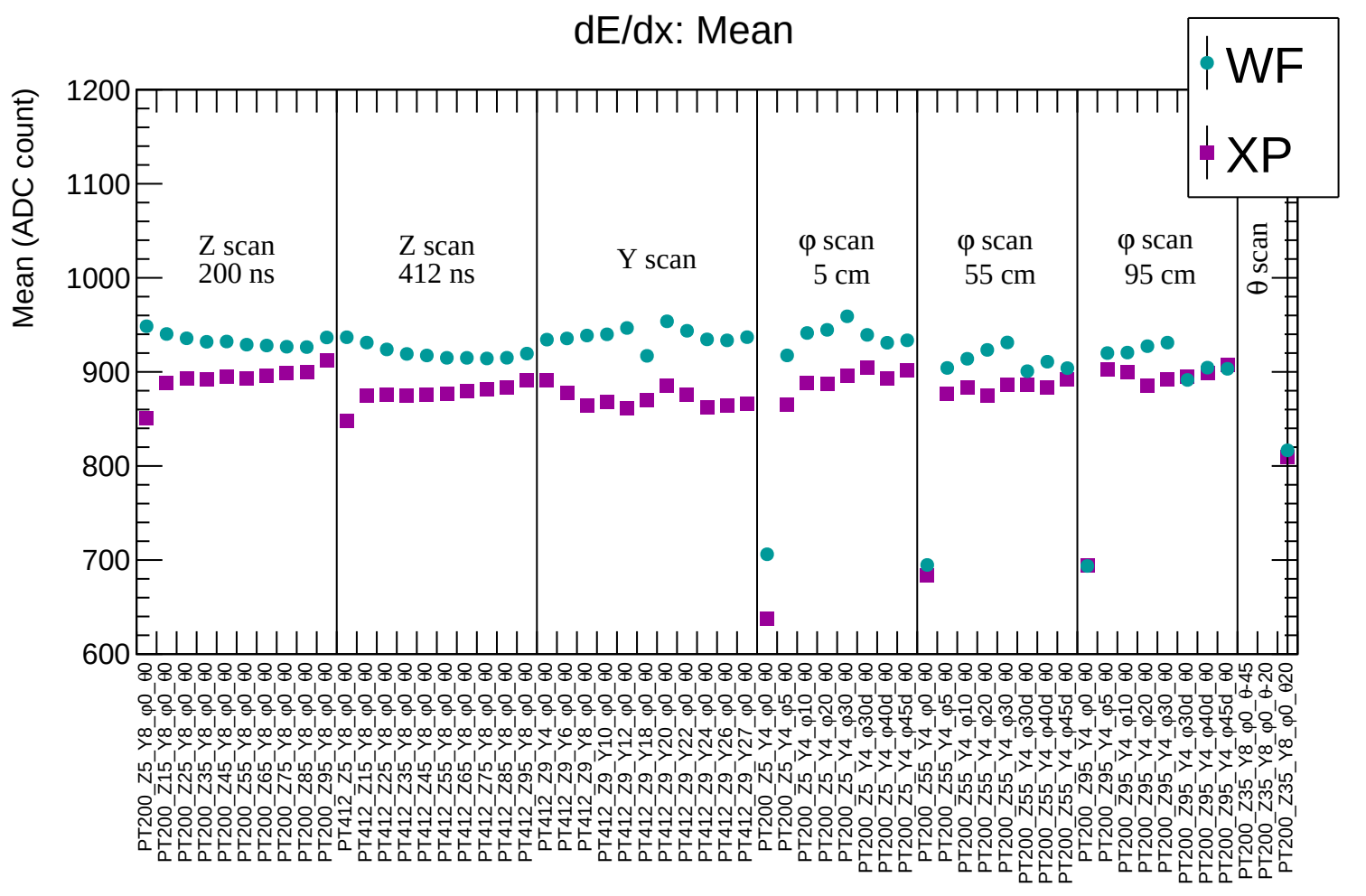
dE/dx: Mean
Mean (ADC count)
1200
1100
1000
900
800
700
600
WF
XP
Z scan
200 ns
Z scan
412 ns
Y scan
φ scan
5 cm
φ scan
55 cm
φ scan
95 cm
θ scan
PT200_Z5_Y8_φ0_θ0
PT200_Z15_Y8_φ0_θ0
PT200_Z25_Y8_φ0_θ0
PT200_Z35_Y8_φ0_θ0
PT200_Z45_Y8_φ0_θ0
PT200_Z55_Y8_φ0_θ0
PT200_Z65_Y8_φ0_θ0
PT200_Z75_Y8_φ0_θ0
PT200_Z85_Y8_φ0_θ0
PT200_Z95_Y8_φ0_θ0
PT412_Z5_Y8_φ0_θ0
PT412_Z15_Y8_φ0_θ0
PT412_Z25_Y8_φ0_θ0
PT412_Z35_Y8_φ0_θ0
PT412_Z45_Y8_φ0_θ0
PT412_Z55_Y8_φ0_θ0
PT412_Z65_Y8_φ0_θ0
PT412_Z75_Y8_φ0_θ0
PT412_Z85_Y8_φ0_θ0
PT412_Z95_Y8_φ0_θ0
PT412_Z9_Y4_φ0_θ0
PT412_Z9_Y6_φ0_θ0
PT412_Z9_Y8_φ0_θ0
PT412_Z9_Y10_φ0_θ0
PT412_Z9_Y12_φ0_θ0
PT412_Z9_Y18_φ0_θ0
PT412_Z9_Y20_φ0_θ0
PT412_Z9_Y22_φ0_θ0
PT412_Z9_Y24_φ0_θ0
PT412_Z9_Y26_φ0_θ0
PT412_Z9_Y27_φ0_θ0
PT200_Z5_Y4_φ5_θ0
PT200_Z5_Y4_φ10_θ0
PT200_Z5_Y4_φ20_θ0
PT200_Z5_Y4_φ30_θ0
PT200_Z5_Y4_φ30d_θ0
PT200_Z5_Y4_φ40d_θ0
PT200_Z5_Y4_φ45d_θ0
PT200_Z55_Y4_φ0_θ0
PT200_Z55_Y4_φ5_θ0
PT200_Z55_Y4_φ10_θ0
PT200_Z55_Y4_φ20_θ0
PT200_Z55_Y4_φ30_θ0
PT200_Z55_Y4_φ30d_θ0
PT200_Z55_Y4_φ40d_θ0
PT200_Z55_Y4_φ45d_θ0
PT200_Z95_Y4_φ0_θ0
PT200_Z95_Y4_φ5_θ0
PT200_Z95_Y4_φ10_θ0
PT200_Z95_Y4_φ20_θ0
PT200_Z95_Y4_φ30_θ0
PT200_Z95_Y4_φ30d_θ0
PT200_Z95_Y4_φ40d_θ0
PT200_Z95_Y4_φ45d_θ0
PT200_Z35_Y8_φ0_θ-45
PT200_Z35_Y8_φ0_θ-20
PT200_Z35_Y8_φ0_θ20

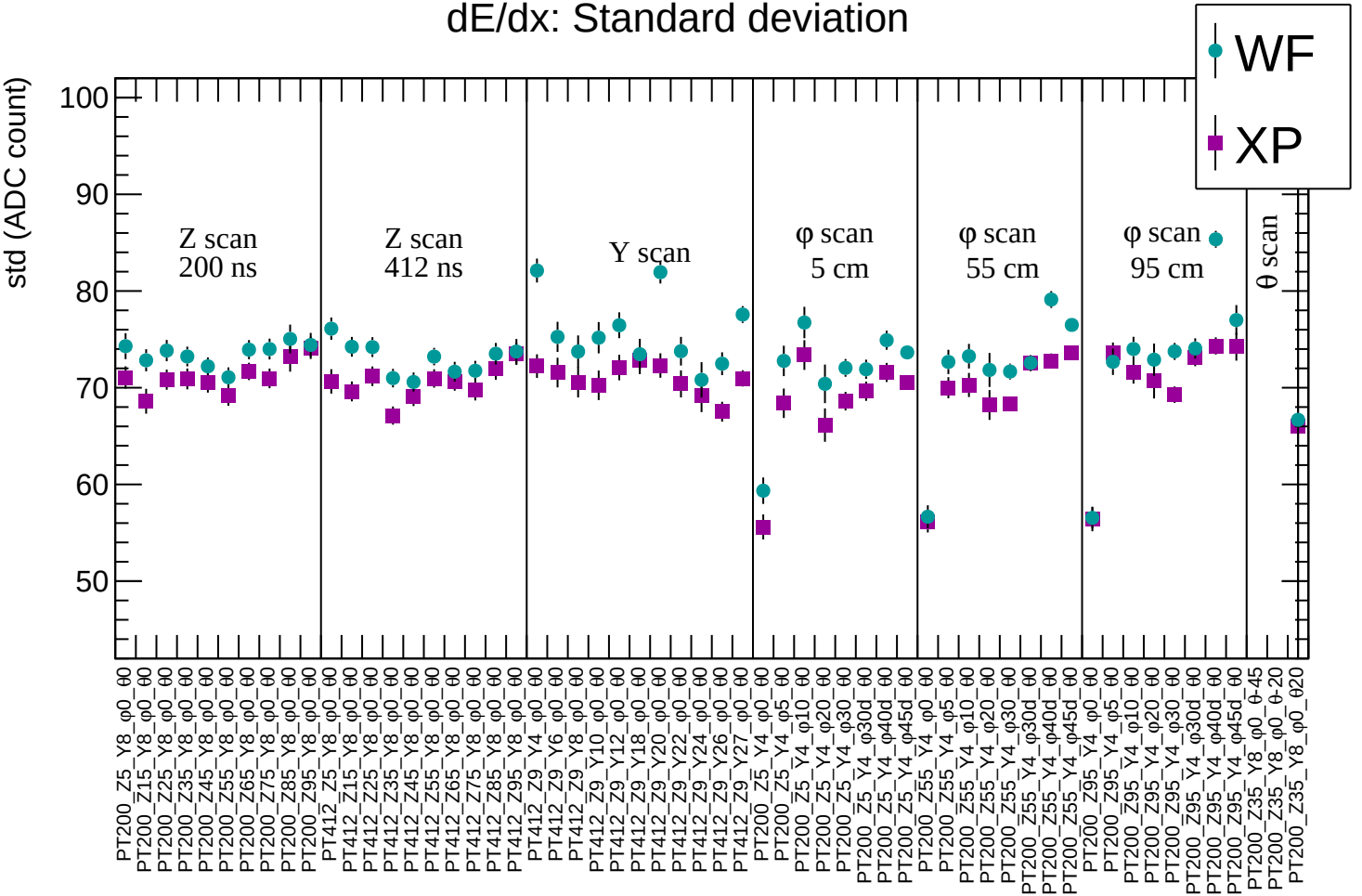
dE/dx: Standard deviation
std (ADC count)
100
90
80
70
60
50
WF
XP
Z scan
200 ns
Z scan
412 ns
Y scan
φ scan
5 cm
φ scan
55 cm
φ scan
95 cm
θ scan
PT200_Z5_Y8_φ0_θ0
PT200_Z15_Y8_φ0_θ0
PT200_Z25_Y8_φ0_θ0
PT200_Z35_Y8_φ0_θ0
PT200_Z45_Y8_φ0_θ0
PT200_Z55_Y8_φ0_θ0
PT200_Z65_Y8_φ0_θ0
PT200_Z75_Y8_φ0_θ0
PT200_Z85_Y8_φ0_θ0
PT200_Z95_Y8_φ0_θ0
PT412_Z5_Y8_φ0_θ0
PT412_Z15_Y8_φ0_θ0
PT412_Z25_Y8_φ0_θ0
PT412_Z35_Y8_φ0_θ0
PT412_Z45_Y8_φ0_θ0
PT412_Z55_Y8_φ0_θ0
PT412_Z65_Y8_φ0_θ0
PT412_Z75_Y8_φ0_θ0
PT412_Z85_Y8_φ0_θ0
PT412_Z95_Y8_φ0_θ0
PT412_Z9_Y4_φ0_θ0
PT412_Z9_Y6_φ0_θ0
PT412_Z9_Y8_φ0_θ0
PT412_Z9_Y10_φ0_θ0
PT412_Z9_Y12_φ0_θ0
PT412_Z9_Y18_φ0_θ0
PT412_Z9_Y20_φ0_θ0
PT412_Z9_Y22_φ0_θ0
PT412_Z9_Y24_φ0_θ0
PT412_Z9_Y26_φ0_θ0
PT412_Z9_Y27_φ0_θ0
PT200_Z5_Y4_φ0_θ0
PT200_Z5_Y4_φ5_θ0
PT200_Z5_Y4_φ10_θ0
PT200_Z5_Y4_φ20_θ0
PT200_Z5_Y4_φ30_θ0
PT200_Z5_Y4_φ30d_θ0
PT200_Z5_Y4_φ40d_θ0
PT200_Z5_Y4_φ45d_θ0
PT200_Z55_Y4_φ0_θ0
PT200_Z55_Y4_φ5_θ0
PT200_Z55_Y4_φ10_θ0
PT200_Z55_Y4_φ20_θ0
PT200_Z55_Y4_φ30_θ0
PT200_Z55_Y4_φ30d_θ0
PT200_Z55_Y4_φ40d_θ0
PT200_Z55_Y4_φ45d_θ0
PT200_Z95_Y4_φ0_θ0
PT200_Z95_Y4_φ5_θ0
PT200_Z95_Y4_φ10_θ0
PT200_Z95_Y4_φ20_θ0
PT200_Z95_Y4_φ30_θ0
PT200_Z95_Y4_φ30d_θ0
PT200_Z95_Y4_φ40d_θ0
PT200_Z95_Y4_φ45d_θ0
PT200_Z35_Y8_φ0_θ-45
PT200_Z35_Y8_φ0_θ-20
PT200_Z35_Y8_φ0_θ20